

English Summary:

Synchronization in neuronal networks

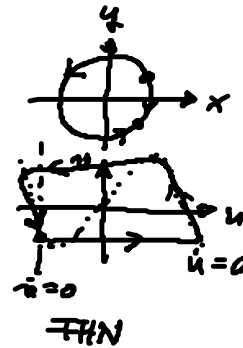
Networks of excitable systems

Excitability type I : SNIPER

$$\begin{aligned} \dot{r} &= r(1-r^2) \\ \dot{\varphi} &= b - r \cos \varphi \end{aligned}$$

" " II : FitzHugh-Nagumo

$$\begin{aligned} \dot{u} &= u - u^3/3 \\ \dot{v} &= u + a \end{aligned}$$



Desynchronization in small-world networks
with additional (p) inhibitory links, \downarrow desynch.

SNIPER with small ϵ : stability island



depending upon exc.-inh. balance: multiple sync-desync transitions

5. Wechselspiel von Zeitverzögerung und Rauschen

Bisher: determinist. dyn. Systeme

jetzt: stochast. dyn. Systeme

5.1 Rauschinduzierte Oszillationen und Kohärenzresonanz

Stochast. Prozess

Zeitentwicklung einer Zufallsvar. $X(t)$

(\leftrightarrow im thermodyn. Gleichgewicht zeitunabh. Wahrscheinl.-verteilung durch Jaynes'sches Prinzip der vorwahrscheinl. Schätzung geg.: verallg. kanon. Verteilung $p_i = e^{-\lambda_i M_i}$, M_i : Zufallsvar.)

Verbundwahrscheinl. zeitabhängig: $p(x_1, t_1; x_2, t_2; x_3, t_3; \dots)$

Realisierungen $x_1, x_2, x_3 \dots$ von $X(t)$

Markoff-Prozess

$$p(x_1, t_1 | x_2, t_2, x_3, t_3, \dots) := \frac{p(x_1, t_1; x_2, t_2; \dots)}{p(x_2, t_2; \dots)} \quad \text{bedingte Wahrscheinl.}$$

$$= p(x_1, t_1 | x_2, t_2) \quad \begin{array}{l} \text{hängt nur von} \\ \text{der jüngsten Bd. ab} \end{array}$$

$t_1 \geq t_2 \geq t_3 \geq \dots$

kein Gedächtnis!

Langevin-Gleichung

fluktuiierende stoch. Kraft $\xi(t)$ (Rauschen, noise)

z.B. Brown'sche Bewegung (1827)

$$m\ddot{x} = -\gamma\dot{x} + \xi(t)$$

Reibung Rauschen

Gauß'sches weißes Rauschen

$$\langle \xi(t) \rangle = 0 \quad \langle \dots \rangle = \text{statist. Mittelung}$$

$$\langle \xi(t) \xi(t') \rangle = \delta(t-t') \quad \text{unkorrel.}$$

zentraler Grenzwertsatz: unkorrel. Zufallsvar. gehorchen einer Gaußverteilung

Autokorrel. fkt.

$$\mathbb{E}(s) := \left\langle (x(t) - \langle x \rangle)(x(t+s) - \langle x \rangle) \right\rangle$$

ergod. System: Ensemblemittel = Zeitmittel

$$\mathbb{E}(s) = \lim_{T \rightarrow \infty} \frac{1}{2T} \int_{-T}^T dt x(t)x(t+s) \quad (\text{hier } \langle x \rangle = 0)$$

$$\text{Fourier-Trafo: } \hat{x}(\omega; T) = \frac{1}{2\pi} \int_{-T}^T dt e^{i\omega t} x(t) \quad \text{in } t \in [-T, T]$$

spektrale Leistungsdichte (power spectral density)

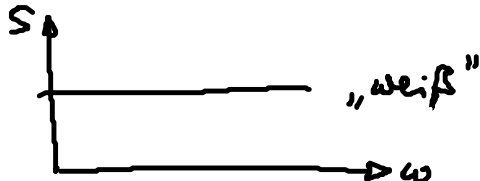
$$S(\omega) := \lim_{T \rightarrow \infty} \frac{\pi}{T} |\hat{x}(\omega; T)|^2$$

$$\Rightarrow S(\omega) = \frac{1}{2\pi} \int_{-\infty}^{\infty} \langle x(t)x(t+s) \rangle e^{i\omega s} ds$$

Wiener-Khintchine-Theorem

Gauß'sches weißes Rauschen $\xi(t)$

$$S(\omega) = \frac{1}{2\pi} \int \delta(s) e^{i\omega s} ds = \frac{1}{2\pi} = \text{const.}$$



Rauschinduzierte Oszillationen

1. Beispiel : System knapp unterhalb einer Hopf-Bif.
Van der Pol-Osz. (1926, v. S. Landau's)

$$\begin{aligned} \dot{x} &= y \\ \dot{y} &= (\varepsilon - x^2)y - \omega_0^2 x + D\xi(t) \end{aligned}$$

$\ddot{x} - (\varepsilon - x^2)\dot{x} + \omega_0^2 x = D\xi(t)$
 D Rauschintensität
 $\xi(t)$ Gauß'sches weißes
Rauschen

nichtlin. Osz.

$$D=0 : \text{Fixpnt. } x=y=0 \quad A = \begin{pmatrix} 0 & 1 \\ -\omega_0^2 & \varepsilon \end{pmatrix}, \quad \text{tr } A = \varepsilon, \quad \det A = \omega_0^2$$

$\varepsilon = 0$ Hopf-Bif., $\varepsilon < 0$ stabiler Fokus
 $\varepsilon > 0$ instab. Fokus + LC

$$\text{hier : } \varepsilon = -0.01, \quad \omega_0 = 1, \quad \lambda = \frac{\varepsilon}{2} \pm i\sqrt{\omega_0^2 - \left(\frac{\varepsilon}{2}\right)^2} \approx \frac{\varepsilon}{2} \pm i\omega_0$$

\Rightarrow keine determinist. Osz.

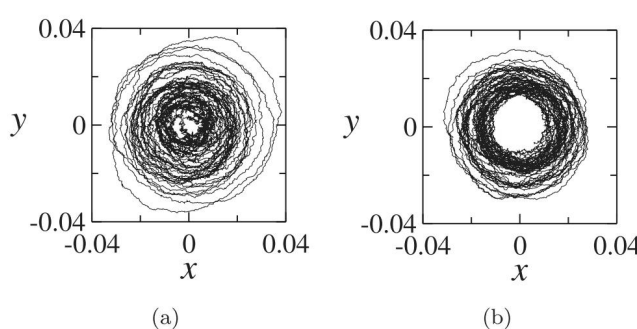
aber rauschinduzierte Osz. ($D \neq 0$)

lit. Janson, Balanov, Schöll: PRL 93, 010601 (2004)

Balanov, Janson, Schöll: Physica D 199, 1 (2004)

Schöll, Balanov, Janson, Neiman: Stoch. Dyn. 5, 281 (2005)

SFB-Symp. Fr. 3.7. 15⁰⁰ - 17⁰⁰ H 3005 : A. Neiman
"Noise"



rauschinduz.
Osz.
(VdP)

Fig. 1. Numerically simulated phase portraits of noise-induced oscillations of the Van der Pol system at $\omega_0 = 1$, $\varepsilon = -0.01$, $D = 0.003$: (a) without feedback $K = 0$; (b) with feedback $K = 0.2$, $\tau = T_0$. In both cases the system was integrated during 300 time units.

2. Beispiel : anregbares System (Typ II)

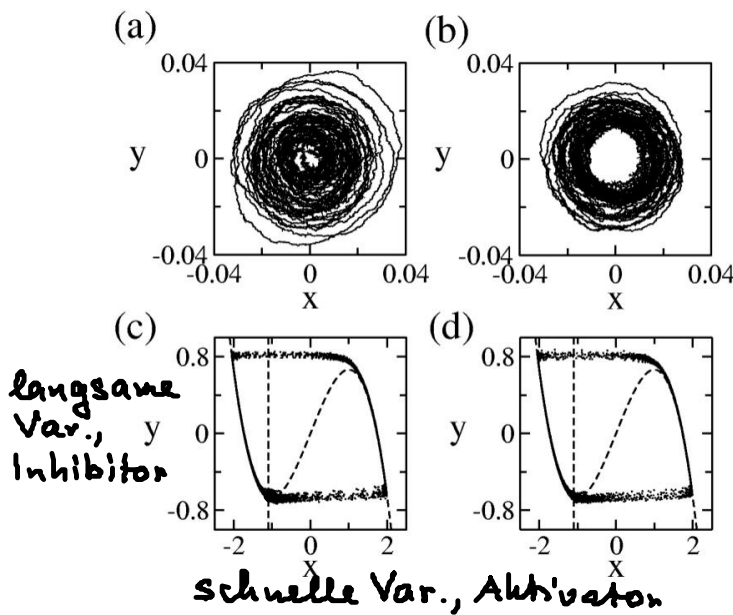
FitzHugh - Nagumo - Modell (Neuron)

$$\varepsilon \dot{x} = x - \frac{x^3}{3} - y$$

$$\dot{y} = x + \alpha + Df(t)$$

Zeitshaltentw. $\varepsilon \ll 1$ ($\varepsilon = 0.01$)
Anreg-Schwelle a ($a = 1.1$)

$D=0$: Fixpkt. $x = -a$, $y = -a - \frac{a^3}{3}$ stabiler Knoten für $a > 1$ (anregbar)
 ohne Kontrolle mit Kontrolle (hier nicht betrachtet.
 $a < 1$ instab. Fixpkt. + LC)



Van P

FHN

$D \neq 0$: rauschinduz. Osz.

(spiking von Neuronen)

FIG. 1. Phase portraits of noise-induced motion:
 (a),(b) Van der Pol oscillator at $D = 0.003$; (c),(d) FitzHugh-Nagumo system at $D = 0.09$ (the dashed lines denote the null isoclines), (a),(c) $K = 0$; (b),(d) $K = 0.2$, $\tau = T_0$.

Kohärenzresonanz (Pikovsky, Kurths : PRL 78, 775 (1997))

Hu, Dittrich, Ning, Haken : PRL 71, 807 (1993)

(stoch. Resonanz ohne ext. treibende period. Kraft)

konstruktiver Einfluss von Rauschen :

- Regularität („Kohärenz“) der rauschinduz. Osz. am größten für endl. Rauschintensität $D_{opt} > 0$.

- Maß für Regularität:

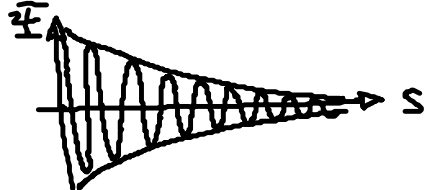
$$\text{Korrelationszeit } t_{\text{cor}} = \frac{1}{2\bar{\Gamma}(0)} \int_0^{\infty} |\bar{\Gamma}(s)| ds$$

Varianz Autokorrel. fkt. $\bar{\Gamma}(s)$

(für lin. stoch. Prozesse $\dot{x} = -(\lambda + i\omega_0)x + \xi(t)$)

$$\bar{\Gamma}(s) = \bar{\Gamma}(0) e^{-\lambda s} \cos \omega_0 s$$

$$t_{\text{cor}} = \int_0^{\infty} e^{-\lambda s} |\cos \omega_0 s| ds$$

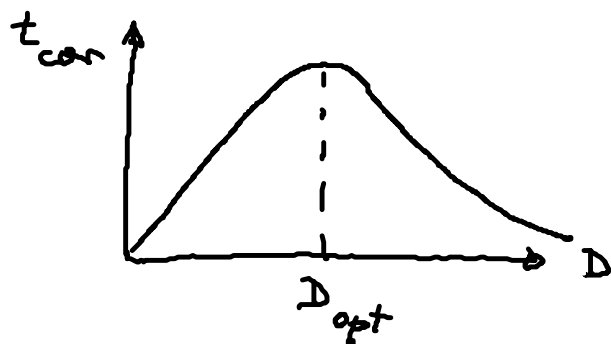


$$\text{Approx.: } \frac{1}{\pi} \int_{-\pi/2}^{\pi/2} \cos \phi d\phi = \frac{2}{\pi} \quad \text{Füllfaktor für } \lambda \ll \omega_0$$

$$t_{\text{cor}} \approx \frac{2}{\pi} \int_0^{\infty} e^{-\lambda s} ds = \frac{2}{\pi \lambda}$$

$$\Rightarrow \bar{\Gamma}(s) = \bar{\Gamma}(0) e^{-\frac{2}{\pi} \frac{s}{t_{\text{cor}}}} \cos(\omega_0 s)$$

(exp. abhängende Korrelation)



Kohärenzresonanz

z.B. FHN (nichtlinear)
ausregbar $|\alpha| > 1$

2 Zeitskalen, die unterschiedlich von der Rauschintensität abhängen:

- Aktivierungszeit $T_{\text{act}}(D) \rightarrow t_{\text{cor}}$ besser mit D
- Extinktionszeit $T_{\text{ext}}(D) \rightarrow t_{\text{cor}}$ schlechter mit D